

ГЕОЛОГИЯ

УДК 553.4:553.061.4(571.65)

РЕЛИКТОВЫЕ СУЛЬФИДЫ В ТЕРИГЕННЫХ ПОРОДАХ ВЕРХНЕ-КОЛЫМСКОГО РЕГИОНА

© 2009 г. Е. Э. Тюкова, А. В. Волков, член-корреспондент РАН А. А. Сидоров

Поступило 30.03.2009 г.

Дисперсная сульфидизация в черносланцевых толщах имеет региональное развитие в складчатых поясах Северо-Востока России. В результате проведенных там исследований было выделено несколько типов зон сульфидизации [1]. Ранее показано [2], что крупные зоны тонкой сульфидизации в терригенных толщах имеют, по-видимому, различную природу – от гидротермально-осадочной до эпигенетической (глубинно-флюидной). По времени формирования зоны сульфидизации достаточно четко могут быть разделены на доакреционные (преимущественно седиментогенные), синакреционные (в значительной степени метаморфизованные) и постакреционные (связанные с глубинной тектономагматической активизацией региона). Эти зоны, масштабы которых исключительно велики, практически еще не изучены.

В настоящем сообщении изложены результаты комплексных минералого-геохимических исследований агрегатов сульфидов сферической формы, отобранных за пределами известных месторождений и рудных полей в синакреционных зонах сульфидизации Верхне-Колымского региона (рис. 1). Подобные образования описаны в рудах и вмещающих породах других металлогенических провинций [3–5]. Реконструкция их генезиса важна с точки зрения понимания истории регионального метаморфизма и его роли для мобилизации металлов и флюидов. Геотектонической позиции сульфидной минерализации Верхне-Колымского региона посвящена работа [6].

Изученные образцы представлены не претерпевшими приповерхностного окисления полевошпат-кварцевыми мелкозернистыми песчаниками, алевропесчаниками и тонкослоистыми алевролитами, зачастую с примесью вулканогенного

материала. Породы в различной степени подвержены разнонаправленному кливажу, серicitизированы, гидрослюдизированы, карбонатизированы и сульфидизированы. На микроуровне наблюдаются сутурные поверхности растворения. В более глинистых и углистых разностях плоскостной кливаж проявлен интенсивнее, вплоть до формирования “аспидных сланцев”. Поверхности кливажа подчеркиваются скоплениями тонкодисперсного углеродистого материала, ориентированными чешуйками слоистых минералов, графита и линзовидными сульфидными агрегатами (рис. 2).

Главным сульфидным минералом терригенных пород является пирит, который хорошо визуально диагностируется и образует рассеянную вкрашенность (до 1–10 мм), желваки, прожилки и линзовидные стяжения (до 1.0–1.5 см, рис. 2). Сульфиды распространены неравномерно, их количество в среднем составляет 0.5–0.7%.

Мелкие (около 0.01 мм) сферические агрегаты пирита установлены в наиболее молодых отложениях юрской и, в меньшей степени, пермской систем (рис. 3). Строение агрегатов однородное микроглобулярное, микрокристаллитовое, зональное скролуповатое, однородное массивное (рис. 3). Нередка зональная структура, образующаяся при перекристаллизации микроглобулярного пирита в микрокристаллический часто с радиальным расположением кристаллов (рис. 3б). Центральная часть таких образований обычно выполнена зернами породы, сфалеритом, халькопиритом или галенитом (рис. 3г–к). Подчеркнем, что в терригенных породах, содержащих сферические агрегаты сульфидов, кливаж, вторичные карбонаты и гидрослюды распространены незначительно.

Крупные идиоморфные метакристаллы пирита зачастую содержат реликты сферических образований, что может свидетельствовать о формировании первых в результате перекристаллизации последних (рис. 4а–в).

В интенсивно кливажированных терригенных породах вместо углистого вещества появляются чешуйки графита и стильпномелана, ориентированные по плоскостям кливажа. В некоторых случаях графит образует скролуповатые агрегаты

Северо-Восточный комплексный научно-исследовательский институт Дальневосточного отделения Российской Академии наук, Магадан
Институт геологии рудных месторождений, петрографии, минералогии и геохимии Российской Академии наук, Москва

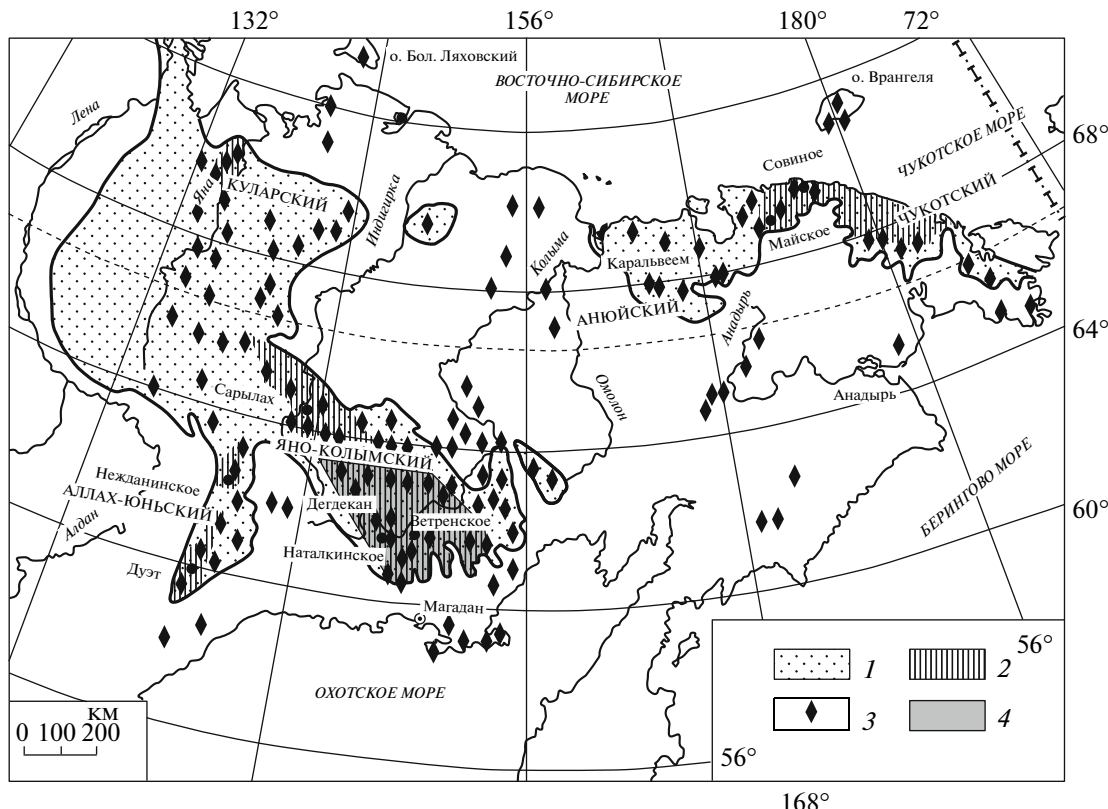


Рис. 1. Распространение зон тонкой сульфидизации на Северо-Востоке России. 1 – породы черносланцевой формации; 2 – главные золотоносные районы; 3 – зоны сульфидизации; 4 – район исследований.

(рис. 4д). Сульфидные линзовидные образования, сопряженные с рассланцеванием, могут содержать агрегаты пирротина различного размера или мелкую (0.05 мм) вкрапленность халькопирита, пирротина, а также сферические агрегаты пирита в срастании с Fe—Co—Ni—сульфоарсенидами и редкие зерна “серого” монацита (рис. 4). В некоторых случаях раскристаллизованные относительно крупные образования пирита в результате стрессовых напряжений претерпевают растворение и их внешние зоны имеют пламевидные границы.

По данным химико-спектрального анализа пирит содержит 0.004–1.3 г/т Au; 0.1–1.8 г/т Ag; по данным нейтронно-активационного анализа содержание Co в пирите достигает 100 г/т. Микрорентгеноспектральное исследование сферических образований пирита было затруднено из-за структуры, представленной микроагрегатами очень мелких частиц (табл. 1). Суммарное содержание примесей As + Co + Ni достигает 1 мас. %, а в метакристаллах пирита не превышает 0.4 мас. %.

Характерными чертами сферических сульфидных образований в изученных породах являются: их широкое распространение в виде очень мелкой рассеянной вкрапленности; приуроченность к породам, наименее подвергнутым динамомет-

морфизму; фрамбоидальное, скорлуповатое и зональное строение; наличие микровключений Fe–Co–Ni-сульфоарсенидов, сфалерита, галенита и монацита; повышенное по сравнению с раскристаллизованным пиритом содержание элементов

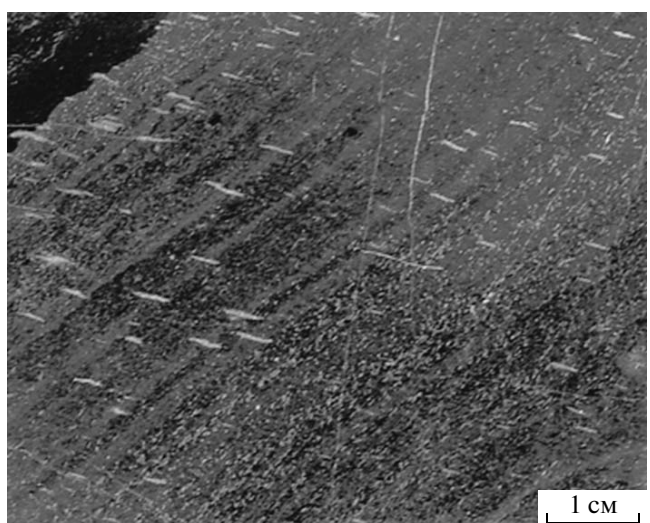


Рис. 2. Линзовидная вкрапленность пирита по плоскостям кливажа в слоистой осадочной породе.

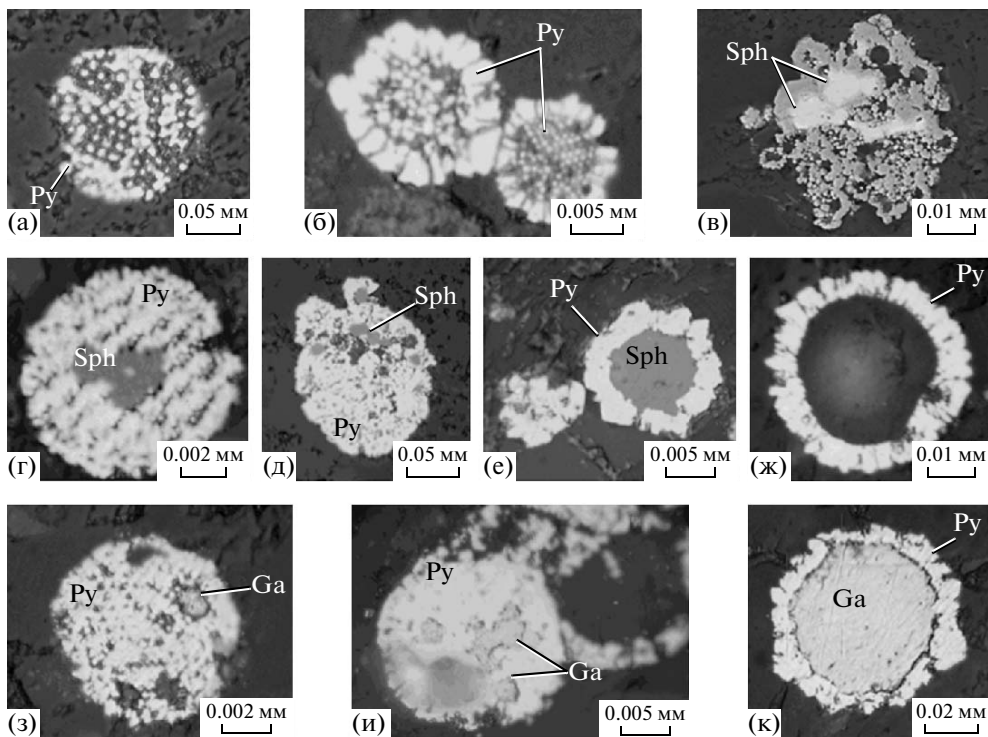


Рис. 3. Морфология и ассоциации сферических образований в осадочных породах (в – снято на сканирующем микроскопе LEO1430VP в обратно рассеянных электронах, ОИГМ СО РАН, оператор А.Т. Титов). Q – кварц, Sph – сфалерит, Ga – галенит, Py – пирит.

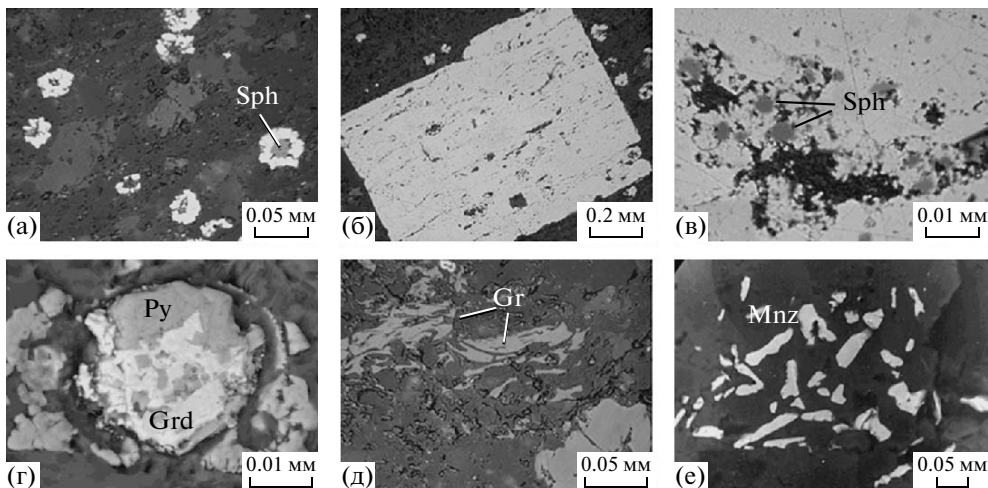


Рис. 4. Взаимоотношения ранних сферических образований и более поздних метакристаллов пирита (а–в). Новообразованные минеральные фазы (г–е): Gr – графит, Mnz – монацит, Grd – герсдорфит, Asp – арсенопирит. (Фото г снято на сканирующем микроскопе LEO1430VP в обратно рассеянных электронах, ОИГМ СО РАН, оператор А.Т. Титов.)

примесей. Достоверные признаки биогенного происхождения сферических образований (закономерные биогенные структуры) не обнаружены. В большей степени имеющимся признакам отвечает коллоидное происхождение сфер с последующей их раскристаллизацией.

Сочетание микротекстур пород свидетельствует, что они в различной степени подвергались стрессовым воздействиям. По экспериментальным данным [7], в условиях сжатия и деформации сдвига в твердых телах происходит увеличение растворимости минералов и миграционной способности ком-

Таблица 1. Состав сферических образований и метакристаллов пирита, мас. %

№ обр.	Fe	S	As	Co	Ni	Сумма	Характеристика образца
155/M-98	40.728	48.286	0.172	0.154	0.112	89.452	Сфера пирита с включениями сфалерита
	42.934	50.354	0.136	0.238	0.053	93.715	То же
	41.733	48.198	0.187	0.112	0.1	90.33	»
	42.317	49.224	0.167	0.221	0.115	92.044	»
	43.5	49.08	0.269	0.412	0.239	93.5	»
	40.994	47.846	0.351	0.232	0.131	89.554	Сферический пирит
153/M-98	41.736	51.428	0.068	0.116	0.123	93.471	Кайма пирита вокруг галенита
	43.238	52.807	0.013	0.11	0.037	96.205	То же
	46.082	53.266	0.121	0.124	0.1	99.693	Кайма пирита вокруг сфалерита
145/M-98	41.579	49.532	0.037	0.01	0.015	91.173	“Розетка” пирита
	41.842	49.677	0.128	0.029	0.153	91.829	То же
	43.284	49.945	0.122	0.106	0.052	93.509	»
149/M-98	43.407	50.99	0.338	0.248	0.138	95.121	Сферический пирит
	44.694	54.034	0.491	0.302	0.255	99.776	То же
	43.926	49.264	0.02	0.013	0	93.223	»
	43.334	49.102	0.286	0	0	92.722	»
	43.851	50.483	0.389	0.167	0.146	95.036	»
173/M-98	42.791	51.143	0.263	0	0	94.197	Глобулярный пирит
140_M-98	45.548	51.397	0.226	0.096	0.041	97.308	Центр кристалла
	45.184	52.524	0.148	0.029	0.03	97.915	То же, но ближе к краю
	45.527	52.724	0	0	0	98.251	То же
	44.85	51.745	0.297	0.081	0.011	96.984	Центр кристалла
	45.903	51.992	0.103	0.064	0	98.062	То же
	41.655	47.46	0	0.177	0.052	89.344	Край кристалла
155_M-98	45.525	51.322	0.108	0.064	0	97.019	Центр кристалла
	45.525	51.504	0.091	0.016	0	97.136	То же
	44.911	52.31	0.002	0.071	0.127	97.421	Кристалл
153_M-98	45.062	52.369	0.092	0.019	0.06	97.602	Центр кристалла
	43.742	51.011	0.022	0	0	94.775	Край кристалла
149_M-98	47.73	53.972	0.074	0.084	0.128	101.988	Кристалл пирита
	46.465	53.181	0.016	0.093	0.224	99.979	То же

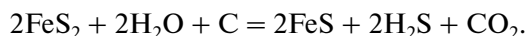
Примечание. Анализ выполнен на микроанализаторе SX-50, $U = 15$ кВ, $I_{\text{зонд}} = 30$ нА; эталон – FeS_2 , FeAsS , аналитические линии – K_α , для As – L_α ; аналитик И.А. Брызгалов, МГУ.

понентов. В наиболее древних породах региона, относящихся к пермской системе, и в пределах рудных узлов терригенные толщи сильнее деформированы с образованием наложенных текстур, таких как кливаж. Для них можно предполагать более существенное перераспределение вещества, в том числе и рудного. Разнообразие деформационных микротекстур свидетельствует о неоднократных деформациях. Кремнезем при растворении кластогенного кварца под давлением образовывал птигматитовые кварцевые прожилки, линзы и каймы в “тених давления” кристаллов пирита.

В терригенных породах региона содержится существенное количество вулканогенного материала и нельзя исключать его роль как источника ряда компонентов, например, таких как редкоземельные элементы, которые входят в состав монацита.

При динаметаморфизме сферические сульфидные образования сегрегировались в линзовидные агрегаты по плоскостям кливажа, служили затравками или перекристаллизовывались в ограниченные метакристаллы. Дальнейшее стрессовое воздействие на породу иногда приводило к морфологически выраженному частичному рас-

творению кристаллов пирита по направлениям кливажа, обеднение их элементами-примесями. Более существенное воздействие приводило к преобразованию пирита в пирротин с включениями халькопирита и Fe–Ni–Co-сульфоарсенидов. К похожим результатам приводил также контактовый метаморфизм со стороны гранитоидных интрузий. При пирротинизации пирита, помимо серы, мобилизуются другие компоненты, важные для золото-кварцевых рудообразующих систем, в том числе CO₂[8]:



Применительно к региональным процессам эти реакции рассматривались ранее в [9]. На основании полученных материалов можно предполагать, что значительную роль в качестве энергетического источника преобразования пород имели пластические деформации, которые фиксируются проявлениями кливажа и связанной с ним перекристаллизацией минералов. Наблюдается отчетливая преемственность в развитии минеральной и геохимической систем от терригенных пород к рудоносным кварцевожильным образованиям.

Таким образом, в пределах разнообразных и разновозрастных зон сульфидизации реликтовые сульфиды в определенной степени отражают первичную геохимическую обстановку периода осадконакопления и дальнейшую ее эволюцию. При

изучении многочисленных зон сульфидизации [1] состав реликтовых сульфидов позволяет прогнозировать геохимическую специализацию и степень унаследованности постседиментационного оруденения.

Работа выполнена при финансовой поддержке РФФИ (проект 08–05–00135) и Программы ОНЗ РАН № 2.

СПИСОК ЛИТЕРАТУРЫ

1. Волков А.В., Сидоров А.А., Савва Н.Е. и др. Тихоокеанский рудный пояс: материалы новых исследований (К 100-летию Е.А. Радкевич). Владивосток: Дальннаука, 2008. С. 36–51.
2. Сидоров А.А., Томсон И.Н. // Вестн. РАН. 2000. Т. 70. № 8. С. 719–724.
3. Brown A.C. // Econ. Geol. 1971. V. 66. P. 543–573.
4. Юдович Я.Э., Кетрис М.П. Мышияк в углях. Сыктывкар, 2004. 106 с.
5. Large R.R., Maslennikov V.V., Robert F.D. // Econ. Geol. 2007. V. 102. P. 1233–1267.
6. Геодинамика, магматизм и металлогения Востока России / Под ред. А.И. Ханчука. Владивосток: Дальннаука, 2006. Т. 2. 418 с.
7. Ениколопян Н.С. // ДАН. 1986. Т. 288. № 3. С. 657–660.
8. Hall T. // Miner. Mag. 1986. V. 50. P. 223–229.
9. Ворошин С.В., Акинин В.В., Махоркина Т.И. // ДАН. 1993. Т. 330. № 6. С. 733–735.